

765

265



ISSN 0021-3470

ИЗВЕСТИЯ  
ВЫСШИХ УЧЕБНЫХ  
ЗАВЕДЕНИЙ

# РАДИОЭЛЕКТРОНИКА

ЮБИЛЕЙНЫЙ ВЫПУСК

том 51

1-2

январь-февраль

ИЗДАНИЕ  
НАЦИОНАЛЬНОГО  
ТЕХНИЧЕСКОГО  
УНИВЕРСИТЕТА  
УКРАИНЫ  
«КИЕВСКИЙ  
ПОЛИТЕХНИЧЕСКИЙ  
ИНСТИТУТ»

2008

УДК 621.391

ТРИФОНОВ А. П., КУДАЕВ А. В.

## ЭФФЕКТИВНОСТЬ ОБНАРУЖЕНИЯ ИЗОБРАЖЕНИЯ С НЕИЗВЕСТНЫМИ КООРДИНАТАМИ И ПЛОЩАДЬЮ\*

Выполнены синтез и анализ максимально правдоподобного обнаружителя изображения на фоне пространственного шума. Исследованы потери в эффективности обнаружения изображения вследствие априорного незнания его координат и площади.

Во многих приложениях теории обработки изображений возникает необходимость в обнаружении изображения на фоне пространственного шума [1–3 и др.]. В [2] рассмотрена задача обнаружения изображения с неизвестными координатами, но площадь изображения при этом предполагалась априори известной. В [3] рассмотрена задача обнаружения изображения с неизвестной площадью, но координаты изображения при этом предполагались априори известными. В то же время, во многих случаях у обнаруживаемого изображения могут быть априори неизвестны, как координаты, так и площадь, которая характеризует размеры изображения. Кроме того, обычные условия формирования и передачи изображения [1] приводят к тому, что его максимальная интенсивность (амплитуда) также априори неизвестна. В связи с чем рассмотрим обнаружения изображения с априори неизвестными координатами, площадью и амплитудой.

Пусть в области  $G$  наблюдается реализация двумерного случайного поля

$$\xi(x_1, x_2) = \gamma_0 s(x_1, x_2, a_0, \lambda_{01}, \lambda_{02}, \chi_0) + n(x_1, x_2), \quad (1)$$

где  $n(x_1, x_2)$  — центрированный гауссовский белый шум с односторонней спектральной площадью  $N_0$ ,  $\gamma_0 = \{0, 1\}$  — дискретный параметр, отражающий наличие или отсутствие в принятой реализации полезного изображения, которое можно записать в виде

$$s(x_1, x_2, a, \lambda_1, \lambda_2, \chi) = af\left(\frac{x_1 - \lambda_1}{\sqrt{\chi}}, \frac{x_2 - \lambda_2}{\sqrt{\chi}}\right). \quad (2)$$

\* Работа выполнена при поддержке РФФИ и администрации Воронежской области (проекты 06-07-96301 и 07-01-00042).

Здесь  $a = \max_{x_1, x_2} s(x_1, x_2, a, \lambda_1, \lambda_2, \chi)$  — амплитуда изображения, параметры  $\lambda_1, \lambda_2$  — характеризуют положения изображения в области наблюдения  $G$ , а

$$\chi = \int_{-\infty}^{\infty} \int_{-\infty}^{\infty} s^2(x_1, x_2, a, \lambda_1, \lambda_2, \chi) dx_1 dx_2 / a^2$$

— эквивалентная площадь полезного изображения. Функция  $f(x_1, x_2)$  в (2) описывает распределение интенсивности изображения и нормирована так, что

$$\max f(x_1, x_2) = \int_{-\infty}^{\infty} \int_{-\infty}^{\infty} f^2(x_1, x_2) dx_1 dx_2 = 1 \quad (3)$$

Положим, что неизвестные координаты изображения (2) принимают значения из интервалов  $[\lambda_{i \min}, \lambda_{i \max}]$ , так что  $\lambda_i \in [\lambda_{i \min}, \lambda_{i \max}], i = 1, 2$ , а неизвестная площадь  $\chi \in [\chi_{\min}, \chi_{\max}]$ . Обозначим  $\Pi = \{[\lambda_{1 \min}, \lambda_{1 \max}], [\lambda_{2 \min}, \lambda_{2 \max}], [\chi_{\min}, \chi_{\max}]\}$  — априорная область возможных значений координат и площади изображения. Эта область такова, что при всех  $(\lambda_1, \lambda_2, \chi) \in \Pi$ , изображение (2) расположено внутри области наблюдения  $G$ .

Для обнаружения полезного изображения необходимо формировать логарифм функционала отношения правдоподобия (ФОП), как функцию всех неизвестных параметров изображения [4]. Согласно [5] логарифм ФОП можно записать как

$$M(a, \lambda_1, \lambda_2, \chi) = \frac{2a}{N_0} \iint_G \xi(x_1, x_2) f\left(\frac{x_1 - \lambda_1}{\sqrt{\chi}}, \frac{x_2 - \lambda_2}{\sqrt{\chi}}\right) dx_1 dx_2 - \frac{a^2 \chi}{N_0}. \quad (4)$$

Решение о наличии полезного изображения в принятой реализации наблюдаемых данных (1) принимается в результате сравнения величины абсолютного (наибольшего) максимума логарифма ФОП (4) с порогом  $h$ , выбранным в соответствии с заданным критерием оптимальности обнаружения [4]. В результате, алгоритм обнаружения принимает вид

$$\sup_{a, (\chi, \lambda_1, \lambda_2) \in \Pi} M(a, \lambda_1, \lambda_2, \chi) > h \Rightarrow \gamma_0 = 1, \quad (5)$$

$$\sup_{a, (\chi, \lambda_1, \lambda_2) \in \Pi} M(a, \lambda_1, \lambda_2, \chi) < h \Rightarrow \gamma_0 = 0.$$

Максимизацию по амплитуде  $a$  в (5) можно выполнить аналитически. Тогда

$$M(\lambda_1, \lambda_2, \chi) = \sup_a M(a, \lambda_1, \lambda_2, \chi) = R^2(\lambda_1, \lambda_2, \chi) / 2, \quad (6)$$

а алгоритм обнаружения (5) перепишется как

$$\sup_{(\chi, \lambda_1, \lambda_2) \in \Pi} M(\lambda_1, \lambda_2, \chi) > h \Rightarrow \gamma_0 = 1, \quad (7)$$

$$\sup_{(\chi, \lambda_1, \lambda_2) \in \Pi} M(\lambda_1, \lambda_2, \chi) < h \Rightarrow \gamma_0 = 0.$$

В (6) функционал

$$R(\lambda_1, \lambda_2, \chi) = \sqrt{\frac{2}{\chi N_0}} \iint_G \xi(x_1, x_2) f\left(\frac{x_1 - \lambda_1}{\sqrt{\chi}}, \frac{x_2 - \lambda_2}{\sqrt{\chi}}\right) dx_1 dx_2. \quad (8)$$

Эффективность алгоритма обнаружения (7) будем характеризовать вероятностями ошибок первого рода (ложной тревоги) и второго рода (пропуска изображения) [4].

Пусть  $\gamma_0 = 0$ , т. е. полезное изображение отсутствует в реализации наблюдаемых данных (1). Тогда вероятность ложной тревоги определяется выражением [4]

$$\alpha = P\left[\sup_{(\lambda_1, \lambda_2, \chi) \in \Pi} M(\lambda_1, \lambda_2, \chi) > h | \gamma_0 = 0\right] = P\left[\sup_{(\lambda_1, \lambda_2, \chi) \in \Pi} \frac{R^{20}(\lambda_1, \lambda_2, \chi)}{2} > h\right]. \quad (9)$$

Здесь

$$R_0(\lambda_1, \lambda_2, \chi) = \sqrt{\frac{2}{\chi N_0}} \iint_G n(x_1, x_2) f\left(\frac{x_1 - \lambda_1}{\sqrt{\chi}}, \frac{x_2 - \lambda_2}{\sqrt{\chi}}\right) dx_1 dx_2 \quad (10)$$

— функционал (8) при отсутствии полезного изображения. Функционал (10) представляет собой центрированное гауссовское случайное поле, обладающее корреляционной функцией

$$\begin{aligned} B_0(\lambda_{11}, \lambda_{21}, \lambda_{12}, \lambda_{22}, \chi_1, \chi_2) &= \langle R_0(\lambda_{11}, \lambda_{21}, \chi_1) R_0(\lambda_{12}, \lambda_{22}, \chi_2) \rangle = \\ &= \iint_G f\left(\frac{x_1 - \lambda_{11}}{\sqrt{\chi_1}}, \frac{x_2 - \lambda_{21}}{\sqrt{\chi_1}}\right) f\left(\frac{x_1 - \lambda_{12}}{\sqrt{\chi_2}}, \frac{x_2 - \lambda_{22}}{\sqrt{\chi_2}}\right) dx_1 dx_2 / \sqrt{\chi_1 \chi_2}. \end{aligned} \quad (11)$$

Перепишем теперь выражение для вероятности ложной тревоги (9) в виде

$$\alpha = 1 - P_N(h), P_N(h) = P\left[\sup_{(\lambda_1, \lambda_2, \chi) \in \Pi} |R_0(\lambda_1, \lambda_2, \chi)| < \sqrt{2h}\right]. \quad (12)$$

Согласно (11), случайное поле (10) является неоднородным по параметру  $\chi$ . Это не позволяет непосредственно воспользоваться результатами [4] для

расчета вероятности  $P_N(h)$ . Поэтому аналогично [6,7] априорную область П возможных значений параметров  $\lambda_1, \lambda_2, \chi$  разобъем на  $K$  подобластей  $\Pi_k = \{[\lambda_{1\min}; \lambda_{1\max}], [\lambda_{2\min}; \lambda_{2\max}], [\chi_{1k}; \chi_{2k}]\}$  таких, что для любой точки  $\tilde{\chi}_k \in \Pi_k$  выполняется условие

$$\delta = \max[\Delta\chi_k / \tilde{\chi}_k] \ll 1, \quad (13)$$

где  $\Delta\chi_k = \chi_{2k} - \chi_{1k}$ . Тогда в каждой подобласти  $\Pi_k$  при  $\delta \rightarrow 0$  случайное поле (10) можно приближенно считать локально-однородным. Потребуем далее, чтобы значения поля  $R_0(\lambda_1, \lambda_2, \chi)$  в различных подобластях  $\Pi_k$  были приближенно статистически независимы. Для этого достаточно, чтобы объем каждой из подобластей  $\Pi_k$  был значительно больше объема области значений  $(\lambda_1, \lambda_2, \chi)$ , где корреляционная функция (11) существенно отлична от нуля. Объем подобласти  $\Pi_k$  будет существенно больше объема области высокой корреляции случайного поля (10), если [4]

$$\xi_k = \Lambda_1 \Lambda_2 \Delta\chi_k b(\tilde{\chi}_k) \gg 1. \quad (14)$$

Здесь  $\Lambda_i = \lambda_{i\max} - \lambda_{i\min}$ ,  $i = 1, 2$ , а  $b^2(\chi)$  — определитель матрицы

$$||B_{ij}(\chi)||, i, j = 1, 2, 3, \quad (15)$$

элементами которой являются производные корреляционной функции (11)

$$B_{11}(\chi) = \frac{\partial^2 B_0(\lambda_{11}, \lambda_{21}, \lambda_{12}, \lambda_{22}, \chi_1, \chi_2)}{\partial \lambda_{11} \partial \lambda_{12}} = \frac{1}{\chi} \int_{-\infty}^{\infty} \int_{-\infty}^{\infty} \left[ \frac{\partial f(x_1, x_2)}{\partial x_1} \right]^2 dx_1 dx_2,$$

$$B_{12}(\chi) = B_{21}(\chi) = \frac{\partial^2 B_0(\lambda_{11}, \lambda_{21}, \lambda_{12}, \lambda_{22}, \chi_1, \chi_2)}{\partial \lambda_{11} \partial \lambda_{22}} = \frac{1}{\chi} \int_{-\infty}^{\infty} \int_{-\infty}^{\infty} \frac{\partial f(x_1, x_2)}{\partial x_1} \frac{\partial f(x_1, x_2)}{\partial x_2} dx_1 dx_2,$$

$$B_{13}(\chi) = B_{31}(\chi) = \frac{\partial^2 B_0(\lambda_{11}, \lambda_{21}, \lambda_{12}, \lambda_{22}, \chi_1, \chi_2)}{\partial \lambda_{11} \partial \chi_2} = \\ = \frac{1}{2\chi^{3/2}} \int_{-\infty}^{\infty} \int_{-\infty}^{\infty} \frac{\partial f(x_1, x_2)}{\partial x_1} \left( x_1 \frac{\partial f(x_1, x_2)}{\partial x_1} + x_2 \frac{\partial f(x_1, x_2)}{\partial x_2} + f(x_1, x_2) \right) dx_1 dx_2,$$

$$B_{22}(\chi) = \frac{\partial^2 B_0(\lambda_{11}, \lambda_{21}, \lambda_{12}, \lambda_{22}, \chi_1, \chi_2)}{\partial \lambda_{21} \partial \lambda_{22}} = \frac{1}{\chi} \int_{-\infty}^{\infty} \int_{-\infty}^{\infty} \left[ \frac{\partial f(x_1, x_2)}{\partial x_2} \right]^2 dx_1 dx_2,$$

$$B_{23}(\chi) = B_{32}(\chi) = \frac{\partial^2 B_0(\lambda_{11}, \lambda_{21}, \lambda_{12}, \lambda_{22}, \chi_1, \chi_2)}{\partial \lambda_{21} \partial \chi_2} = \\ = \frac{1}{2\chi^{3/2}} \int_{-\infty}^{\infty} \int_{-\infty}^{\infty} \frac{\partial f(x_1, x_2)}{\partial x_2} \left( x_1 \frac{\partial f(x_1, x_2)}{\partial x_1} + x_2 \frac{\partial f(x_1, x_2)}{\partial x_2} + f(x_1, x_2) \right) dx_1 dx_2,$$

$$B_{33}(\chi) = \frac{\partial^2 B_0(\lambda_{11}, \lambda_{21}, \lambda_{12}, \lambda_{22}, \chi_1, \chi_2)}{\partial \chi_1 \partial \chi_2} = \\ = \frac{1}{4\chi^2} \int_{-\infty}^{\infty} \int_{-\infty}^{\infty} \left( x_1 \frac{\partial f(x_1, x_2)}{\partial x_1} + x_2 \frac{\partial f(x_1, x_2)}{\partial x_2} + f(x_1, x_2) \right)^2 dx_1 dx_2. \quad (16)$$

Все производные в (16) вычисляются для значений  $\lambda_{11} = \lambda_{12}, \lambda_{21} = \lambda_{22}, \chi_1 = \chi_2 = \chi$ .

При выполнении (14) вероятность  $P_N(h)$  из (12) можно записать как

$$P_N(h) \simeq \prod_{k=1}^K P_{Nk}(h), \quad P_{Nk}(h) = P \left[ \sup_{(\lambda_1, \lambda_2, \chi) \in \Pi_k} |R_0(\lambda_1, \lambda_2, \chi)| < \sqrt{2h} \right]. \quad (17)$$

Согласно [8], когда выполняется (14), значения  $R^{+Nk} = \sup_{(\lambda_1, \lambda_2, \chi) \in \Pi_k} R_0(\lambda_1, \lambda_2, \chi)$  и  $R^{-Nk} = \inf_{(\lambda_1, \lambda_2, \chi) \in \Pi_k} R_0(\lambda_1, \lambda_2, \chi)$  абсолютных максимума и минимума случайного поля (10) в каждой подобласти  $\Pi_k$  приближенно статистически независимы. Следовательно, при больших  $h$  [8], с учетом (14) для вероятностей  $P_{Nk}(h)$  (17) можем записать

$$P_{Nk} \simeq P[\max(-R^{-Nk}; R^{+Nk}) < \sqrt{2h}] = P^{+k}(h)P^{-k}(h), \quad (18)$$

где  $P^{+k}(h) = P[R^{+Nk} < \sqrt{2h}], P^{-k}(h) = P[R^{-Nk} > -\sqrt{2h}]$ .

Так как в каждой подобласти  $\Pi_k$  поле (10) является центрированным локально-однородным гауссовским случайным полем, то

$$P^{+k}(h) = P^{-k}(h) = F_{0k}(\sqrt{2h}), \quad \text{Где } F_{0k}(h) = P \left[ \sup_{(\lambda_1, \lambda_2, \chi) \in \Pi_k} R_0(\lambda_1, \lambda_2, \chi) < h \right]$$

— функция распределения величины абсолютного максимума поля  $R_0(\lambda_1, \lambda_2, \chi)$  (10) в подобласти  $\Pi_k$ . Согласно [4,8], при выполнении (13), (14) для функции  $F_{0k}(h)$ ,  $k = \bar{k}, \bar{K}$ , справедливы аппроксимации

$$F_{0k}(h) = P_{Nk}^+(h^2/2) = P^{-Nk}(h^2/2) \simeq \begin{cases} \exp[-\xi_k h^2 \exp(-h^2/2)/4\pi^2], & h \geq \sqrt{2} \\ 0, & h < \sqrt{2} \end{cases} \quad (19)$$

Точность приближенной формулы (19) улучшается с ростом  $h$  и  $\xi_k$  (14). Подставляя (14) в (19), (19) в (18) и (18) в (17) находим приближенное выражение

$$P_N(h) \approx \begin{cases} \exp\left[-\frac{h}{\pi^2} \exp(-h) \Lambda_1 \Lambda_2 \sum_{k=1}^K b(\tilde{\chi}_k) \Delta \chi_k\right], & h \geq 1 \\ 0, & h < 1 \end{cases} \quad (20)$$

При выполнении (13) и (14) величина  $b(\chi)$  мало изменяется в пределах подобласти  $\Pi_k$ , а вероятность (20) не зависит от способа разбиения априорной области  $\Pi$  на подобласти  $\Pi_k$ . Это позволяет в (20) заменить сумму соответствующим интегралом. В результате, при выполнении (13), (14) выражение (20) можно переписать в виде

$$P_N(h) \approx \begin{cases} \exp[-\xi h \exp(-h) / \pi^2], & h \geq 1 \\ 0, & h < 1 \end{cases} \quad (21)$$

где приведенный объем априорной области  $\Pi$  возможных значений неизвестных координат и площади изображения [4, 6, 7]

$$\xi = \Lambda_1 \Lambda_2 \int_{\chi_{\min}}^{\chi_{\max}} b(\chi) d\chi. \quad (22)$$

Подставляя (21) в (12) для вероятности ложной тревоги получаем

$$\alpha \approx \begin{cases} 1 - \exp[-\xi h \exp(-h) / \pi^2], & h \geq 1 \\ 0, & h < 1 \end{cases} \quad (23)$$

Точность этой формулы возрастает с увеличением  $\xi$  (22) и порога  $h$  [4].

Найдем теперь вероятность пропуска полезного изображения. Положим, что полезное изображение присутствует в реализации наблюдаемых данных (1). Тогда при фиксированных истинных значениях неизвестных параметров  $a_0, \lambda_{01}, \lambda_{02}, \chi_0$  вероятность пропуска определяется выражением [4]

$$\beta = P \left[ \sup_{(\lambda_1, \lambda_2, \chi) \in \Pi} M(\lambda_1, \lambda_2, \chi) < h | \gamma_0 = 1 \right] = P \left[ \sup_{(\lambda_1, \lambda_2, \chi) \in \Pi} \frac{R_1^2(\lambda_1, \lambda_2, \chi)}{2} < h \right], \quad (24)$$

где  $R_1(\lambda_1, \lambda_2, \chi)$  — функционал (8) при наличии полезного изображения. Подставляя (1) в (8) при  $\gamma_0 = 1$  получаем

$$R_1(\lambda_1, \lambda_2, \chi) = zS(\lambda_1, \lambda_2, \chi) + R_0(\lambda_1, \lambda_2, \chi), \quad (25)$$

где

$$z^2 = 2 \iint_G s^2(x_1, x_2, a_0, \lambda_{01}, \lambda_{02}, \chi_0) dx_1 dx_2 / N_0 = 2a_0^2 \frac{\chi_0}{N_0}. \quad (26)$$

— отношение сигнал-шум для наблюдаемого полезного изображения

$$S(\lambda_1, \lambda_2, \chi) = B_0(\lambda_1, \lambda_2, \chi, \lambda_{01}, \lambda_{02}, \chi_0) \quad (27)$$

— нормированная сигнальная составляющая, которая выражается через корреляционную функцию (11) нормированной шумовой составляющей (10).

Пусть  $\Pi_S$  — подобласть априорной области  $\Pi$  в которой сигнальная составляющая (27) существенно отлична от нуля, а  $\Pi_N$  — дополнение  $\Pi_S$  до области  $\Pi$ , так что  $\Pi = \Pi_S \cup \Pi_N$ . Обозначим

$$\begin{aligned} H_S &= \sup_{(\lambda_1, \lambda_2, \chi) \in \Pi_S} [M(\lambda_1, \lambda_2, \chi) | \gamma_0 = 1], \\ H_N &= \sup_{(\lambda_1, \lambda_2, \chi) \in \Pi_N} [M(\lambda_1, \lambda_2, \chi) | \gamma_0 = 1] \end{aligned}$$

— абсолютные максимумы случайного поля  $M(\lambda_1, \lambda_2, \chi) = R_1(\lambda_1, \lambda_2, \chi)^2 / 2$  в подобластях  $\Pi_S$  и  $\Pi_N$  соответственно. Полагаем, что приведенный объем (22) априорной области  $\Pi$  достаточно велик, так что

$$\xi \gg 1. \quad (28)$$

Последнее всегда имеет место при выполнении (14). Тогда объем подобласти  $\Pi_N$  существенно превосходит объем области  $\Pi_S$ . Поскольку  $S(\lambda_1, \lambda_2, \chi) \approx 0$  при  $(\lambda_1, \lambda_2, \chi) \in \Pi_N$  можно записать, что

$$H_N = \sup_{(\lambda_1, \lambda_2, \chi) \in \Pi_N} [R^{20}(\lambda_1, \lambda_2, \chi) / 2] \approx \sup_{(\lambda_1, \lambda_2, \chi) \in \Pi} [R^{20}(\lambda_1, \lambda_2, \chi) / 2].$$

При выполнении (28) случайные величины  $H_S$  и  $H_N$  можно приближенно считать независимыми [4]. Тогда для вероятности пропуска полезного изображения (24) имеем

$$P \approx \theta P(H_N < h)P(H_S < h) \approx (1 - \alpha)P_S(h). \quad (29)$$

Здесь  $\alpha$  — вероятность ложной тревоги (23), а  $P_S(h) = P(H_S < h)$ .

Будем считать, что отношение сигнал-шум (26) велико. Тогда в подобласти  $\Pi_S$  координаты  $(\hat{\lambda}_1, \hat{\lambda}_2, \hat{\chi})$  положения абсолютного максимума функции  $M(\lambda_1, \lambda_2, \chi)$  (6) при  $\gamma_0 = 1$  лежат в малой окрестности точки  $(\lambda_{01}, \lambda_{02}, \chi_0)$ . Действительно, согласно [9], при  $z \rightarrow \infty$  координаты положения абсолютного максимума функции (6)  $\hat{\lambda}_1 \rightarrow \lambda_{01}, \hat{\lambda}_2 \rightarrow \lambda_{02}, \hat{\chi} \rightarrow \chi_0$  в среднеквадратическом. Следовательно, можно приближенно положить

$$H_S \approx R_1^2(\lambda_{01}, \lambda_{02}, \chi_0) / 2. \quad (30)$$

Так как  $R_1(\lambda_{01}, \lambda_{02}, \chi_0)$  — случайная гауссовская величина с математическим ожиданием  $\mu$  и единичной дисперсией, то для функции распределения случайной величины  $H_S$  имеем

$$P_S(h) = P[|R_1(\lambda_{01}, \lambda_{02}, \chi_0)| < \sqrt{2h}] = \Phi(z + \sqrt{2h}) - \Phi(z - \sqrt{2h}), \quad (31)$$

где

$$\Phi(x) = \int_{-\infty}^x \exp(-t^2/2) dt / \sqrt{2\pi} \quad (32)$$

— интеграл вероятности. Подставляя (31) в (29) для вероятности пропуска полезного изображения получаем

$$\beta \simeq (1-\alpha)[\Phi(z + \sqrt{2h}) - \Phi(z - \sqrt{2h})]. \quad (33)$$

Точность формулы (33) возрастает с увеличением  $\xi$  (22),  $z$  (26) и  $h$ .

Отметим, что при малых значениях вероятности ложной тревоги ( $\alpha < 0,1$ ) приближенные выражения (23) и (32) можно несколько упростить, переписав их как

$$\alpha \simeq \xi h \exp(-h) / \pi^2, \quad (34)$$

$$\beta \simeq \Phi(z + \sqrt{2h}) - \Phi(z - \sqrt{2h}). \quad (35)$$

Оценим проигрыш в эффективности обнаружения вследствие априорного незнания координат и площади полезного изображения. Когда максимальная интенсивность изображения неизвестна, а координаты и площадь априори заданы, алгоритм обнаружения запишется как

$$M(\lambda_{01}, \lambda_{02}, \chi_0) > h \Rightarrow \gamma_0 = 1, \quad (36)$$

$$M(\lambda_{01}, \lambda_{02}, \chi_0) < h \Rightarrow \gamma_0 = 0.$$

Здесь  $M(\lambda_1, \lambda_2, \chi)$  определяется из (6), а порог  $h$  выбирается в соответствии с заданным критерием оптимальности обнаружения [4].

Пусть  $\gamma_0 = 0$ , т. е. полезное изображение отсутствует в реализации наблюдаемых данных (1). Тогда вероятность ложной тревоги при априори известных координатах и площади изображения согласно (36) определяется выражением

$$\alpha_0 = P[M(\lambda_{01}, \lambda_{02}, \chi_0) > h | \gamma_0 = 0] = P\left[\frac{R^{2_0}(\lambda_{01}, \lambda_{02}, \chi_0)}{2} > h\right]. \quad (37)$$

Поскольку  $R_0(\lambda_{01}, \lambda_{02}, \chi_0)$  — гауссовская случайная величина с нулевым математическим ожиданием и единичной дисперсией (10), то из (37) имеем

$$\alpha_0 = 2[1 - \Phi(\sqrt{2h})]. \quad (38)$$

Найдем теперь вероятность пропуска  $\beta_0$  изображения с априори известными координатами и площадью. Согласно (33)

$$\beta_0 = P[M(\lambda_{01}, \lambda_{02}, \chi_0) < h | \gamma_0 = 1] = P\left[\frac{R^{20}(\lambda_{01}, \lambda_{02}, \chi_0)}{2} < h\right].$$

Из (25) следует, что  $R_1(\lambda_{01}, \lambda_{02}, \chi_0)$  — гауссовская случайная величина с математическим ожиданием  $z$  и единичной дисперсией, поэтому, аналогично (31), можем записать

$$\beta_0 = \Phi(z + \sqrt{2h}) - \Phi(z - \sqrt{2h}). \quad (39)$$

Сравнивая (35) и (39) видим, что предельное (при  $z \rightarrow \infty$  и  $h \rightarrow \infty$ ) значение вероятности пропуска изображения с неизвестными координатами и площадью совпадает с вероятностью пропуска изображения, координаты и площадь которого априори известны. Значит предельная вероятность пропуска изображения инвариантна по отношению к неизвестным координатам и площади изображения.

Сравним теперь вероятности ложной тревоги (34) и (38). Поскольку (34) справедливо при  $h \rightarrow \infty$ , используем известное асимптотическое выражение для интеграла вероятности [10]. Действительно, при  $x \rightarrow \infty$

$$1 - \Phi(x) \simeq \exp(-x^2/2) / x\sqrt{2\pi}.$$

Тогда из (34) и (38) получаем, что при  $\beta \simeq \beta_0$  и  $h \rightarrow \infty$

$$\alpha / \alpha_0 \simeq \xi(h/\pi)^{3/2}. \quad (40)$$

Значит, относительные потери в эффективности обнаружения, вследствие априорного незнания координат и площади изображения возрастают с увеличением приведенного объема  $\xi$  (30) априорной области возможных значений неизвестных параметров и с уменьшением требуемого уровня ложной тревоги, так как  $\alpha, \alpha_0 \rightarrow 0$  при  $h \rightarrow \infty$ . Действительно, воспользуемся для определенности критерием Неймана–Пирсона [4]. Тогда порог  $h$  для заданной вероятности ложной тревоги  $\alpha_0$  определяется из (38)

$$h = [\text{arc}\Phi(1 - \alpha_0/2)]^2/2,$$

где  $\text{arc}\Phi(x)$  — функция обратная интегралу вероятности (32). Обозначим

$$q = \alpha / \alpha_0 \xi \simeq [\text{arc}\Phi(1 - \alpha_0/2)]^3 / (2\pi)^{3/2} \quad (41)$$

— относительное увеличение вероятности ложной тревоги на единицу приведенного объема априорной области возможных значений неизвестных координат и площади изображения. На рис. 1 представлена зависимость величины  $q$  (41) от требуемого уровня ложной тревоги  $\alpha_0$ . Согласно рис. 1 относительный проигрыш в эффективности обнаружения (41) может достигать значительной величины при малых уровнях ложных тревог.

Согласно (40), (41) проигрыш в эффективности обнаружения пропорционален приведенному объему  $\xi$  (22) априорной области координат и площади изображения (2), с коэффициентом пропорциональности (41). Найдем приведенный объем (22) для изображения, распределение интенсивности которого описывается функцией

$$f(x_1, x_2) = \exp \left[ -\pi \frac{(x_1 \cos \varphi - x_2 \sin \varphi)^2}{2\gamma_1^2} - \pi \frac{(x_1 \sin \varphi + x_2 \cos \varphi)^2}{2\gamma_2^2} \right]. \quad (42)$$

Если выполняется условие

$$\gamma_1 \gamma_2 = 1,$$

то функция (42) удовлетворяет условиям нормировки (3). Сечения функции (42) параллельные плоскости регистрации изображения имеют форму эллип-

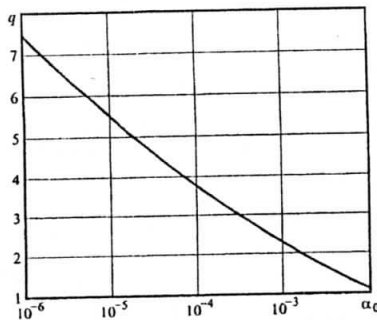


Рис. 1

сов, длина осей которых определяется величинами  $\gamma_1$  и  $\gamma_2$ , а  $\varphi$  — угол между осью эллипса  $\gamma_1$  и осью координат  $x_1$ .

Подставим (42) в (16) и найдем элементы матрицы (15)

$$B_{11}(\chi) = \frac{\pi}{2\chi} \left( \frac{\gamma_2}{\gamma_1} \cos^2 \varphi + \frac{\gamma_1}{\gamma_2} \sin^2 \varphi \right), \quad B_{12}(\chi) = B_{21}(\chi) = \frac{\pi}{4\chi} \left( \frac{\gamma_1}{\gamma_2} - \frac{\gamma_2}{\gamma_1} \right) \sin 2\varphi, \quad (43)$$

$$B_{22}(\chi) = \frac{\pi}{2\chi} \left( \frac{\gamma_2}{\gamma_1} \sin^2 \varphi + \frac{\gamma_1}{\gamma_2} \cos^2 \varphi \right), \quad B_{13}(\chi) = B_{23}(\chi) = B_{31}(\chi) = B_{32}(\chi) = 0,$$

$$B_{33}(\chi) = 1/4\chi^2.$$

Используя (43) для определителя матрицы (15) имеем выражение

$$b^2(\chi) = \pi^2 / 16\chi^4. \quad (44)$$

Подставляя (44) в (22) получаем приведенный объем априорной области возможных значений неизвестных координат и площади изображения (42)

$$\xi = m(1 - \kappa^{-1}) / 4\pi. \quad (45)$$

Здесь  $m = \Lambda_1 \Lambda_2 / \chi_{\min}$  — отношение площади априорной области возможных значений координат изображения к минимально возможному значению неизвестной площади изображения, а  $\kappa = \chi_{\max} / \chi_{\min}$  — динамический диапазон изменения неизвестной площади изображения. Согласно (34) и (45) вероятность ложной тревоги (при малых ее значениях) возрастает пропорционально площади  $S_\lambda = \Lambda_1 \Lambda_2$  области возможных значений неизвестных координат и возрастает обратно пропорционально уменьшению минимальной площади изображения. Вероятность ложной тревоги также увеличивается с ростом динамического диапазона  $\kappa$  на вероятность ложной тревоги невелико. Так при увеличении динамического диапазона  $\kappa$  от значения  $\kappa = 2$  до значения  $\kappa = 20$ , т.е. в 10 раз, вероятность ложной тревоги возрастает лишь в 2 раза.

Таким образом, полученные результаты позволяют определить потери в эффективности обнаружения изображения вследствие априорного незнания его координат и площади.

#### БИБЛИОГРАФИЧЕСКИЙ СПИСОК

1. Красильников Н.Н. Теория передачи и восприятия изображений. — М.: Радио и связь, 1986. — 248 с.
2. Трифонов А.П., Зольков А.В. Характеристики обнаружения и оценки положения источника сигнала, модулирующего пуассоновское случайное поле. // Радиоэлектроника. — 1981. — № 12. — С. 32–38. (Изв. вузов).
3. Трифонов А.П., Прибытов Ю.Н. Обнаружение объектов с неизвестной площадью при наличии фона. // Автометрия. — 2005. — Т. 41. — № 4. — С. 24–39.
4. Теория обнаружения сигналов / П.С. Акимов, П.А. Бакут, В.А. Богданович и др.; Под ред. П.А. Бакута. — М.: Радио и связь, — 1984. — 440 с.
5. Трифонов А.П., Зольков А.В., Маршаков В.К. Характеристики оптимальных оценок параметров оптических сигналов на фоне пространственных помех. // Радиоэлектроника. — 1981. — № 1. — С. 14–21 (Изв. вузов).
6. Трифонов А.П., Шарапов С.И. Оценка местоположения точечной цели в зоне Френеля приемной антенны. // Радиотехника и электроника. — 1984. — Т. 29. — № 2. — С. 242–249.
7. Проняев Е.В. Анализ пороговых эффектов при обработке сигнала в условиях параметрической априорной неопределенности. // Физика волновых процессов и радиотехнические системы. — 2003. — Т. 6. — № 2. — С. 72–79.
8. Питербарг В.И. Асимптотические методы в теории гауссовых процессов и полей. — М.: МГУ, — 1988. — 176 с.
9. Куликов Е.И., Трифонов А.П. Оценка параметров сигналов на фоне помех. — М.: Сов. Радио, — 1978. — 296 с.
10. Градиштейн И.С., Рыжик И.М. Таблицы интегралов, сумм, рядов и произведений. — М.: Наука, — 1971. — 1108 с.